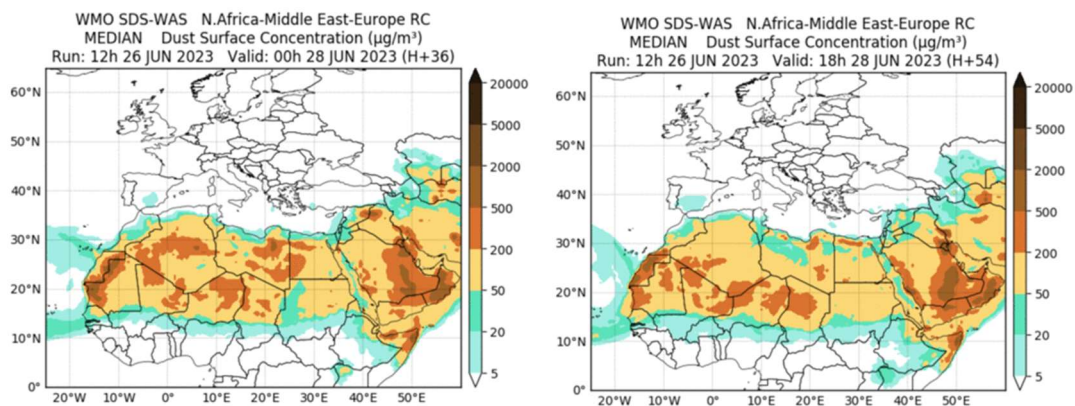


## Predicción de intrusión de masas de aire africano sobre España, para el día 28 de junio de 2023

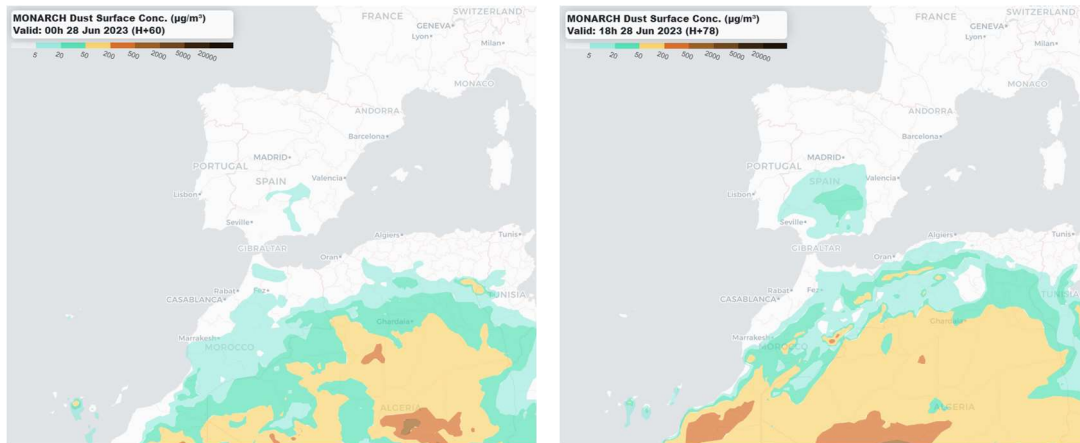
Se prevé que durante las primeras horas del día 28 de junio aún se puedan registrar concentraciones de polvo en el rango 20-200  $\mu\text{g}/\text{m}^3$  en zonas de las islas Canarias, si bien tales concentraciones tenderán a reducirse notablemente con el paso de las horas. Por la tarde es previsible que se registren concentraciones de polvo en el rango 5-50  $\mu\text{g}/\text{m}^3$  en zonas del centro, SO y SE peninsular. Durante todo el día 28 de junio también se prevé el desarrollo de depósito seco de polvo en el archipiélago canario y en gran parte de la mitad S peninsular.

### 28 de junio de 2023



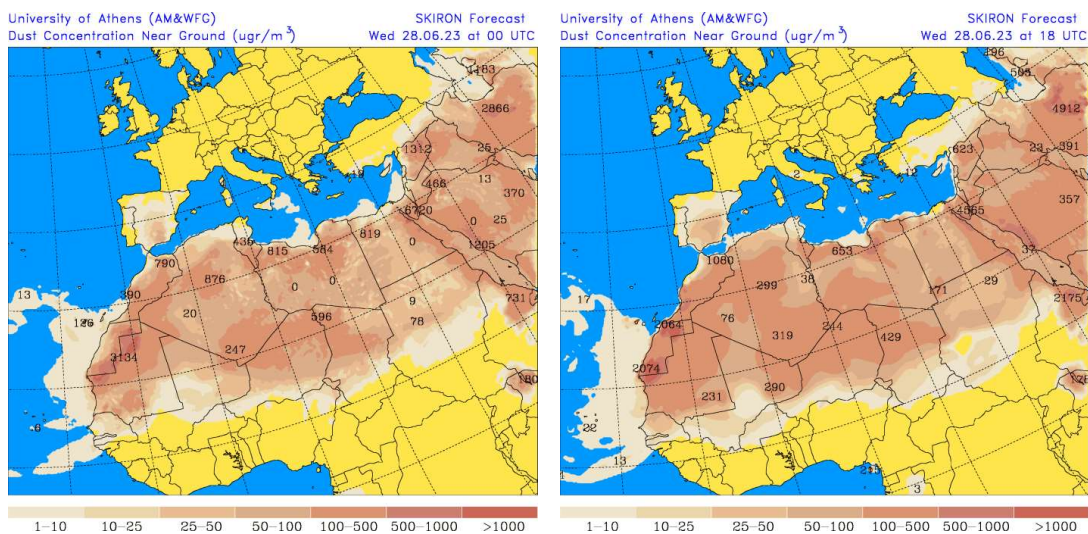
Resultados de la comparación de múltiples modelos de predicción de concentración de polvo (mediana en  $\mu\text{g}/\text{m}^3$ ) para el día 28 de junio de 2023 a las 00h UTC (izquierda) y a las 18h UTC (derecha). Sand and Dust Storm Warning Advisory and Assessment System Regional Center for Northern Africa, Middle East and Europe (SDS-WAS NAMEE RC; <http://sds-was.aemet.es>), gestionado conjuntamente por la Agencia Estatal de Meteorología (AEMET; <http://www.aemet.es/>) y Barcelona Supercomputing Center (BSC, <https://www.bsc.es/>).

El resultado de la intercomparación de múltiples modelos prevé concentraciones de polvo en el rango 20-200  $\mu\text{g}/\text{m}^3$  en zonas de las islas Canarias por la mañana si bien dichos valores se reducirán drásticamente por la tarde. En zonas del centro, SE y SO peninsular se podrán registrar concentraciones en el rango 5-20  $\mu\text{g}/\text{m}^3$  por la tarde.



Concentración de polvo ( $\mu\text{g}/\text{m}^3$ ) predicha por el modelo MONARCH para el día 28 de junio de 2023 a las 00 (izquierda) y a las 18 UTC (derecha). © Barcelona Supercomputing Center.

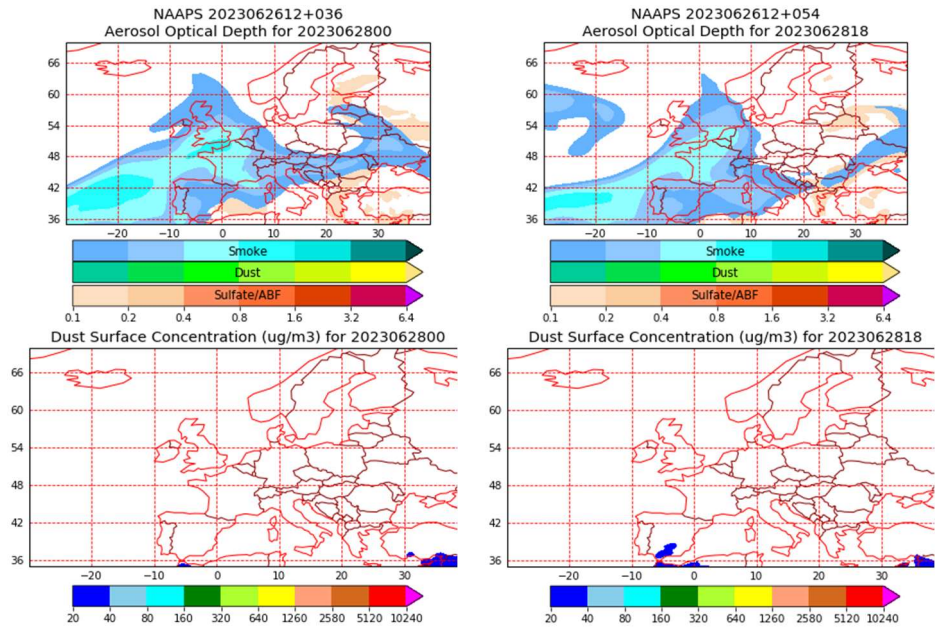
El modelo MONARCH prevé para la tarde del día 28 de junio concentraciones de polvo en el rango  $20\text{-}50 \mu\text{g}/\text{m}^3$  en zonas del SE y centro peninsular y en el rango  $5\text{-}20 \mu\text{g}/\text{m}^3$  en zonas del SW peninsular. En las islas Canarias las concentraciones alcanzarán previsiblemente valores en el rango  $20\text{-}200 \mu\text{g}/\text{m}^3$ , aunque con tendencia a reducirse con el transcurso del día.



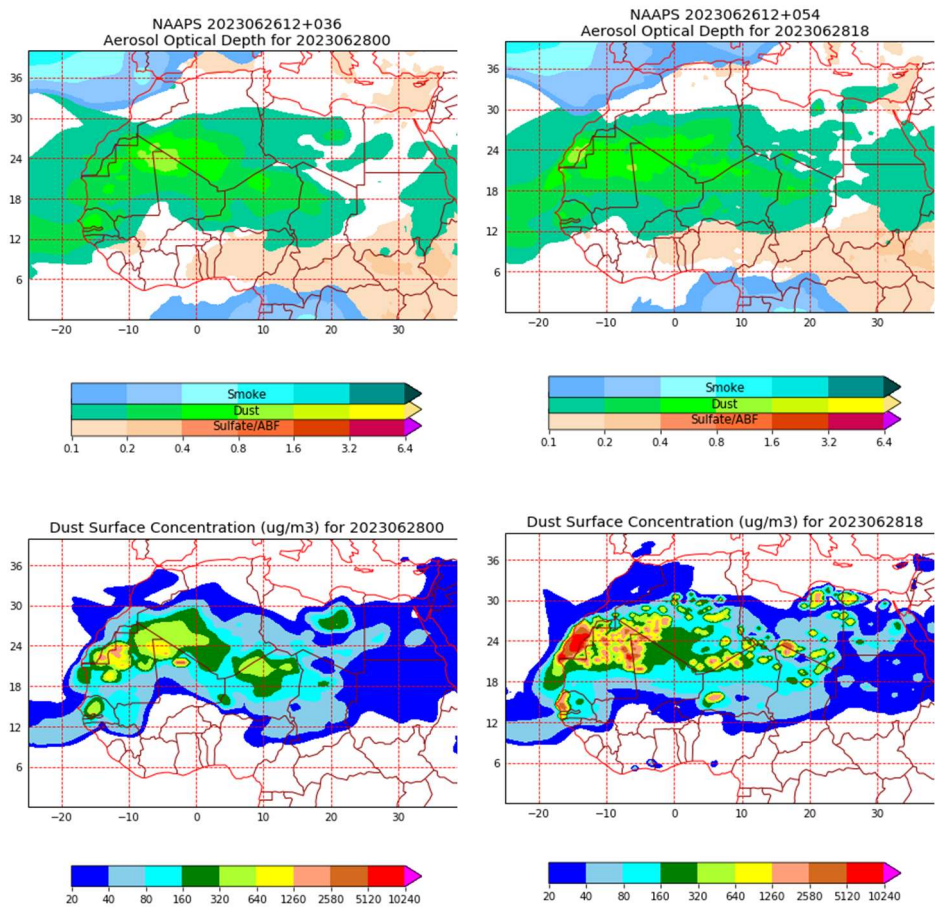
Concentración de polvo ( $\mu\text{g}/\text{m}^3$ ) predicha por el modelo Skiron para el día 28 de junio de 2023 a las 00 (izquierda) y a las 18 UTC (derecha). © Universidad de Atenas.

El modelo SKIRON prevé por la mañana concentraciones de polvo en el rango  $25\text{-}50 \mu\text{g}/\text{m}^3$  en zonas del SE peninsular que se extenderán hasta zonas del centro, E y SW peninsular por la tarde. En las islas Canarias, las concentraciones de polvo tenderán a alcanzar valores superiores a los  $100 \mu\text{g}/\text{m}^3$  durante todo el día, aunque con tendencia a reducirse por la tarde.

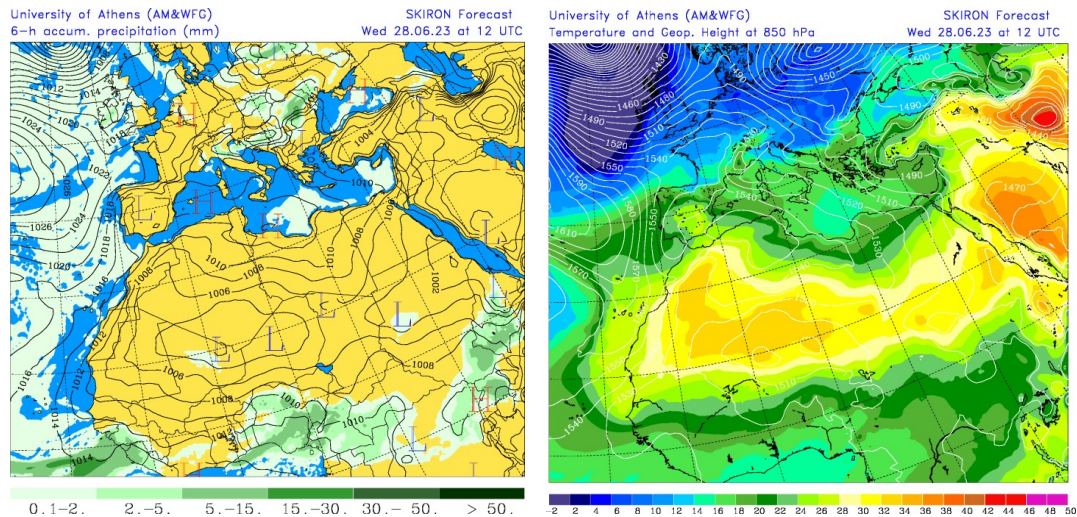
Los resultados del modelo NAAPS prevén concentraciones de polvo en el rango  $20\text{-}40 \mu\text{g}/\text{m}^3$  en zonas del archipiélago canario durante todo el día y del tercio S peninsular por la tarde.



Espesor óptico de aerosoles a 550 nm (arriba) y concentración de polvo a nivel de superficie (abajo) previstos por el modelo NAAPS para el día 28 de junio de 2023 a las 00 UTC (izquierda) y a las 18 UTC (derecha) en Europa. ©Naval Research Laboratory (NRL), Monterey, CA.

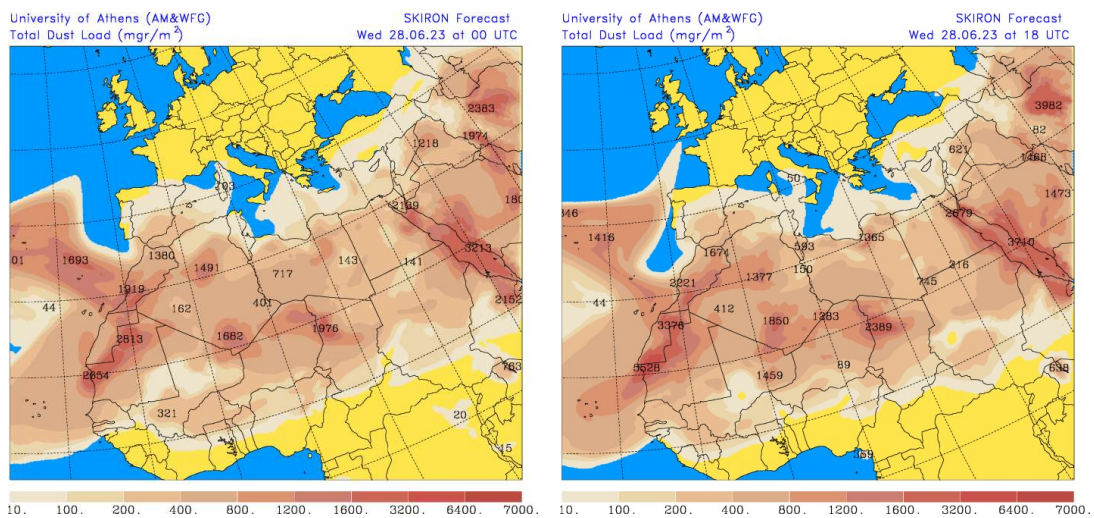


Espesor óptico de aerosoles a 550 nm (arriba) y concentración de polvo a nivel de superficie (abajo) previstos por el modelo NAAPS para el día 28 de junio de 2023 a las 00 UTC (izquierda) y a las 18 UTC (derecha) en el N de África. ©Naval Research Laboratory (NRL), Monterey, CA.



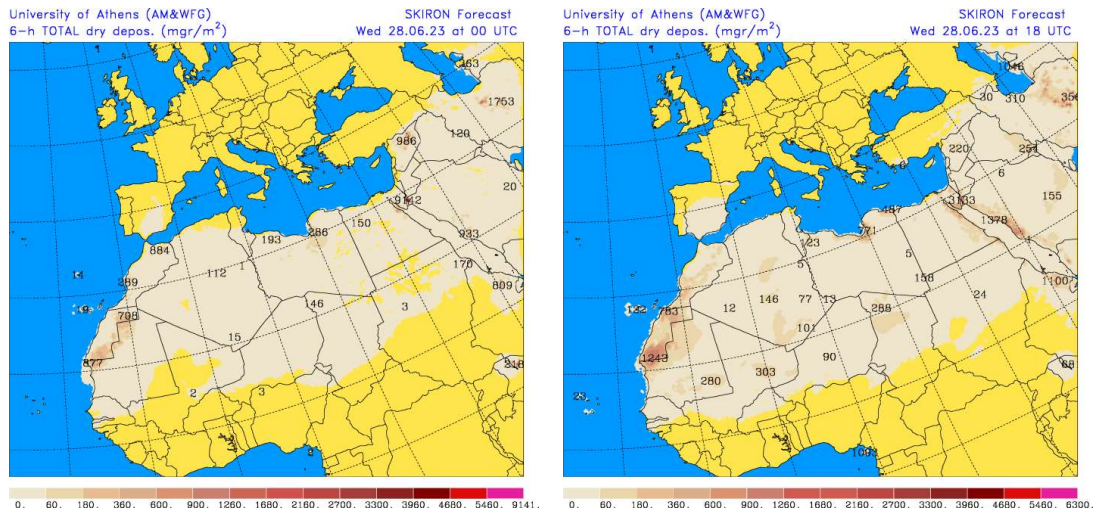
Campo de presión a nivel del mar (mb) y de precipitación (mm) (izquierda) y de temperaturas (°C) y de altura de geopotencial (m) a 850 hPa (derecha) previsto por el modelo Skiron para el día 28 de junio de 2023 a las 12 UTC. © Universidad de Atenas.

La persistencia del centro de altas presiones en superficie y altura sobre el sector occidental de la cuenca mediterránea, continuará generando previsiblemente la advección de masas de aire de origen africano sobre la península desde el sector SE de la misma. En las islas Canarias, los flujos de aire de componente NE producirán el transporte del polvo mineral.



Carga total de polvo ( $\text{mgr}/\text{m}^2$ ) predicha por el modelo Skiron para el día 28 de junio de 2023 a las 00 (izquierda) y a las 18 UTC (derecha). © Universidad de Atenas.

Durante todo el día 28 de junio se prevé el desarrollo de depósito seco de polvo en el archipiélago canario y en gran parte de la mitad S peninsular.



Depósito seco de polvo (mg/m<sup>2</sup>) predicho por el modelo SKIRON para el día 28 de junio de 2023 a las 00 UTC (izquierda) y a las 18 UTC (derecha). © Universidad de Atenas.

Fecha de elaboración de la predicción: 27 de junio de 2023

Predicción elaborada por Pedro Salvador (CIEMAT)

Los datos son propiedad de la Dirección General de Calidad y Evaluación Ambiental, del Ministerio para la Transición Ecológica y el Reto Demográfico, y han sido obtenidos y se suministran en el marco del “Encargo del Ministerio para la Transición Ecológica a la Agencia Estatal Consejo Superior de Investigaciones Científicas para la detección de episodios naturales de aportes transfronterizos de partículas y otras fuentes de contaminación de material particulado, y de formación de ozono troposférico”.